



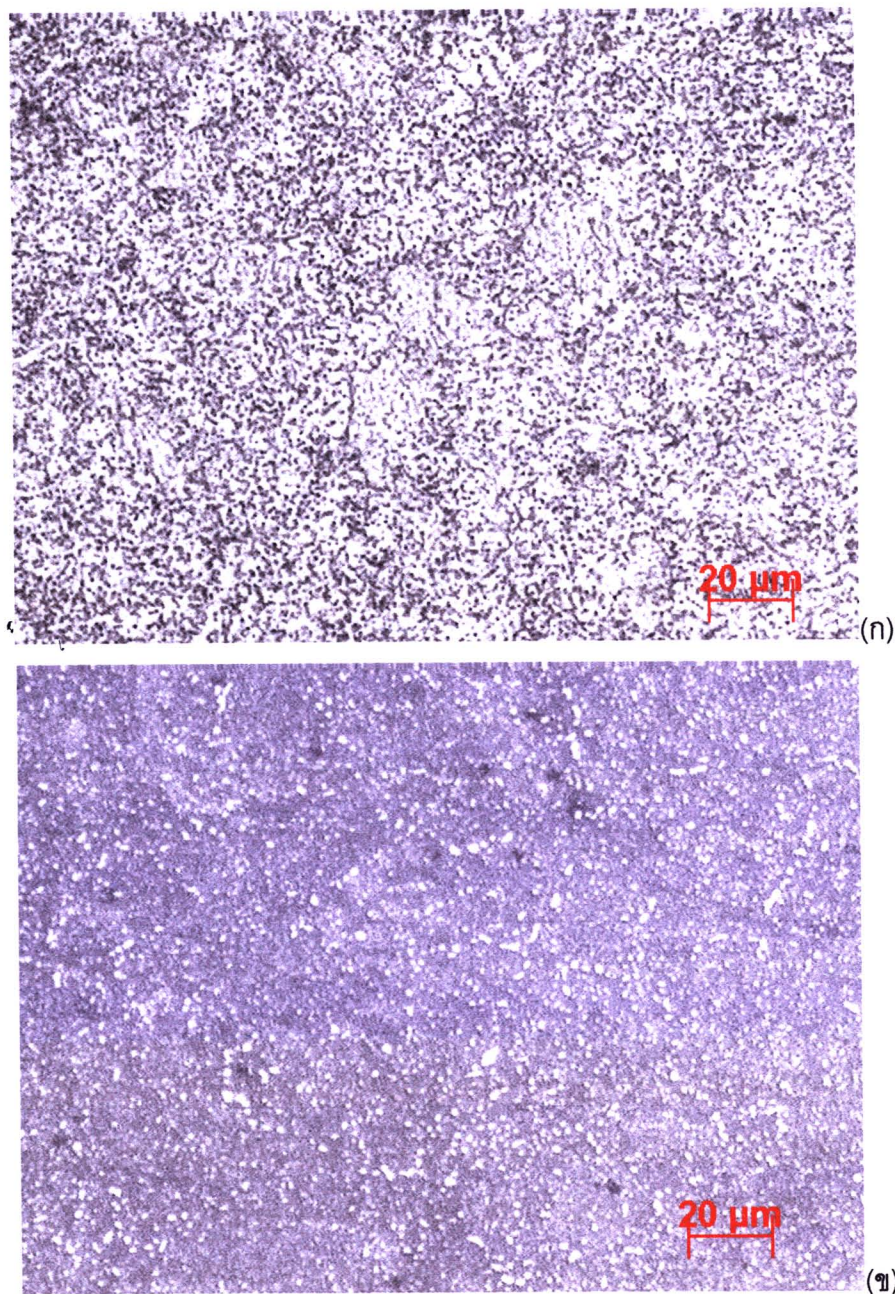
บทที่ 4

ผลการทดลองและการอภิปราย

4.1 การตรวจสอบโครงสร้างจุลภาค

4.1.1 โครงสร้างจุลภาคเริ่มต้น

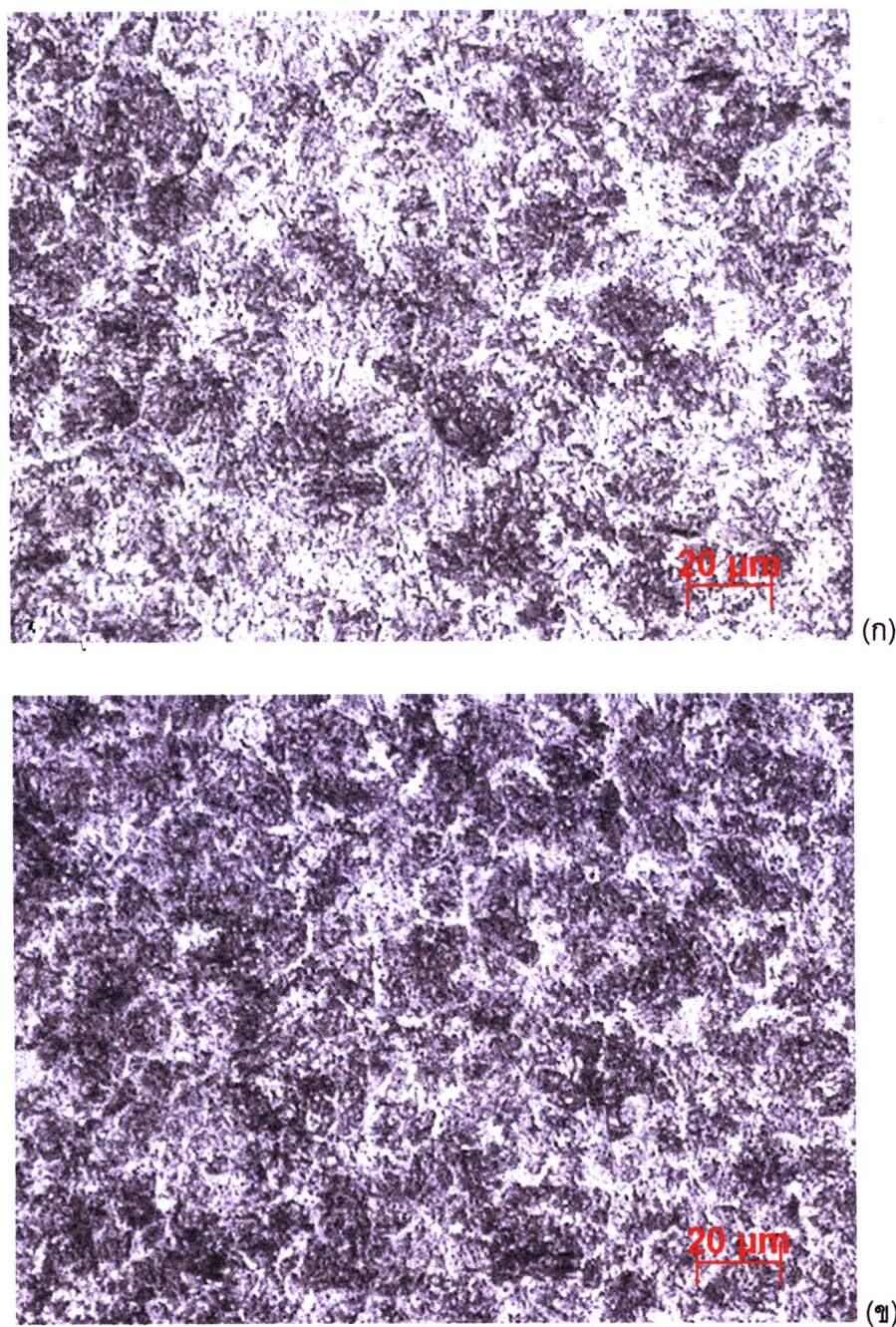
การตรวจสอบโครงสร้างจุลภาคของชิ้นงานซึ่งมีโครงสร้างเป็นชีเมนไตร์กลมบันเน็อพื้นเฟอร์ไรต์ เมื่อกัดผิวด้วยสารละลาย nital 2% มีลักษณะของเนื้อพื้นขาวของเฟอร์ไรต์และมีลักษณะเม็ดกลมสีดำกระจายไปทั่วเนื้อพื้นดังแสดงในรูปที่ 4.1(ก) และใช้สารละลาย Klemm ใน การแยกแยะโครงสร้างจุลภาคซึ่งสารละลายชนิดนี้ทำให้เนื้อพื้นของเฟสอื่นถูกย้อมให้มีสีดำ ในขณะที่ชีเมนไตร์ถูกทำให้เห็นขัดเจนขึ้นดังแสดงในรูป 4.1(ข) ดังนั้นโครงสร้างจุลภาคเริ่มต้นของชิ้นงาน เป็นชีเมนไตร์กลมบันเนื้อพื้นเฟอร์ไรต์



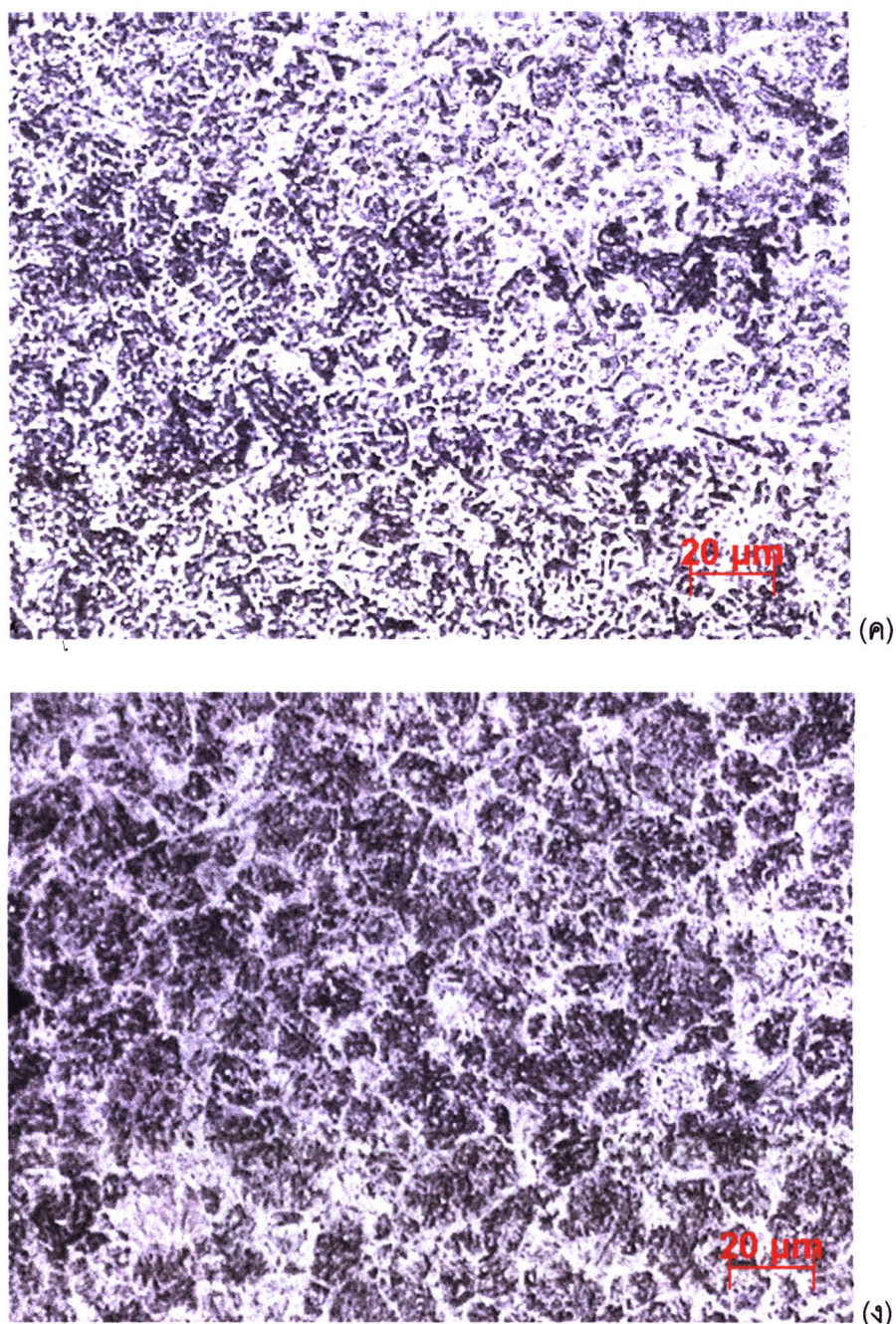
รูปที่ 4.1 โครงสร้างจุลภาคเริ่มต้นของชิ้นงานซีเมนタイト์กลมบันเน็อฟ์เฟอร์ไวร์ต (200x)
(η) กัดผิวด้วยสารละลายนิตอล 2% (χ) กัดผิวด้วยสารละลายนีโคลัมม

4.1.2 โครงสร้างจุลภาคภายในหลังผ่านการอบให้เป็นอสเทนในต์

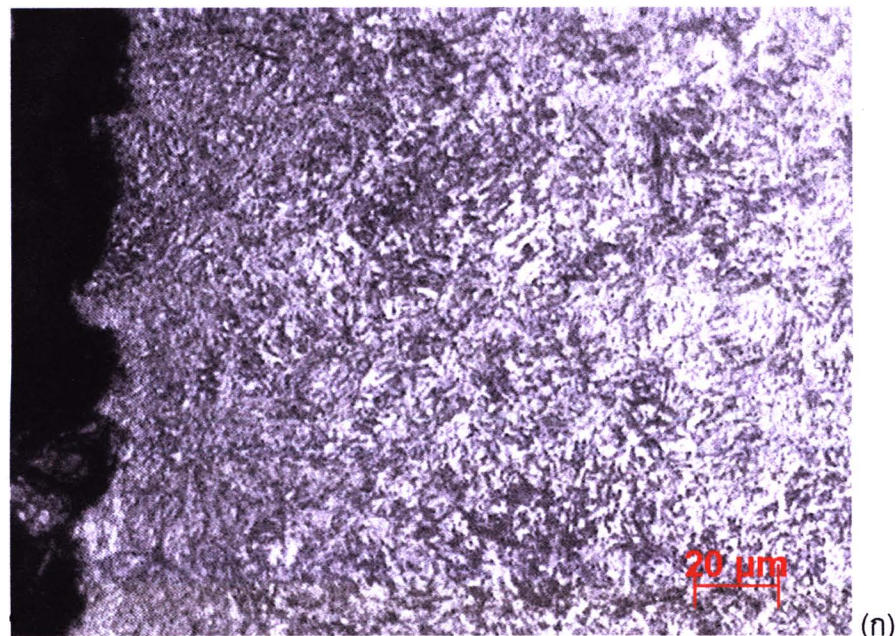
เมื่อผ่านการซูบแข็งและอบคืนตัวทำให้โครงสร้างจุลภาคเมื่อกัดผิวด้วยสารละลาย nital 2% ทุกชิ้นงานแสดงลักษณะ ghost line ดังแสดงในรูปที่ 4.2 มีสาเหตุจากการกระจายตัวที่ไม่สม่ำเสมอของธาตุคาร์บอนและธาตุโครเมียม ซึ่งเกิดเมื่อบาให้เป็นอสเทนในต์ซีเมนタイト์ละลายบริเวณใกล้ขอบเกรนมีคาร์บอนและโครเมียมละลายอยู่มากกว่าทำให้ค่าอุณหภูมิ Ms ต่ำกว่าบริเวณข้างๆซีเมนタイト์ที่ไม่ละลายตัว ทำให้บริเวณใกล้ขอบเกรนมีสีขาวมากกว่าบริเวณอื่นและลักษณะ ghost line ที่เกิดทำให้เห็นขอบเกรนไม่ชัดเจน เมื่อเพิ่มอุณหภูมิอบให้เป็นอสเทนในต์สูงขึ้นพบว่าลักษณะของ ghost line ลดน้อยลงเรื่อยๆและเมื่อเพิ่มอุณหภูมิอบให้เป็นอสเทนในต์สูงขึ้นอีกถึง 900°C ซีเมนタイト์ละลายเกือบทหมดและการแพร่ของธาตุคาร์บอนและธาตุโครเมียมที่มีอยู่มากบริเวณใกล้ขอบเกรนของอสเทนในต์เกิดได้เร็วจนกระทั่งไม่พบความแตกต่างของความเข้มข้นของคาร์บอนและโครเมียมในแต่ละบริเวณจึงไม่แสดงลักษณะ ghost line อีก ดังแสดงในรูปที่ 4.3(ก) นอกจากนี้ เมื่อใช้อุณหภูมิอบให้เป็นอสเทนในต์ที่ 900°C ภายหลังซูบแข็งและอบคืนตัวชิ้นงานเกิดรอยแตกดังแสดงในรูปที่ 4.3(ข) เนื่องจากความแตกต่างระหว่างอุณหภูมิอบให้เป็นอสเทนในต์และอุณหภูมน้ำมันซูบแข็งที่มากเกินไป



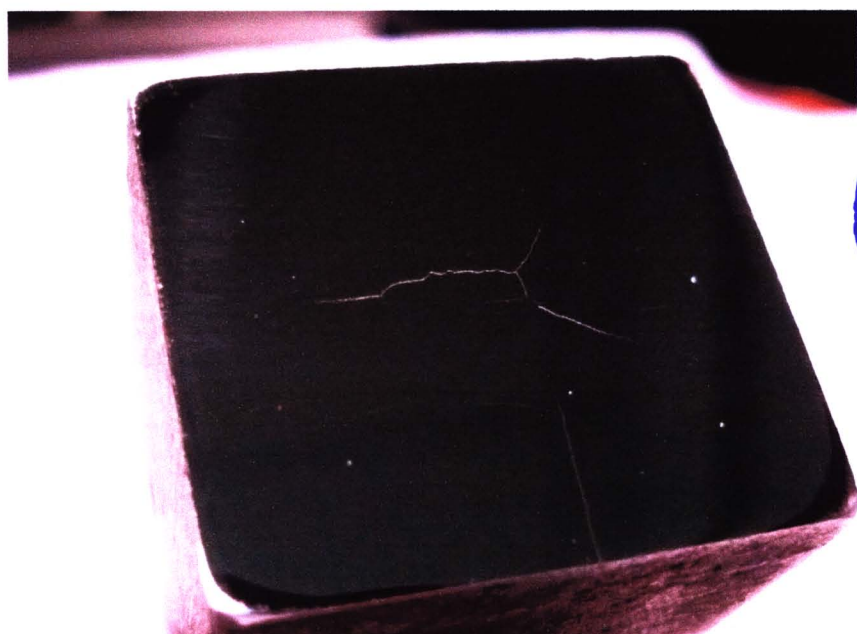
รูปที่ 4.2 โครงสร้างจุลภาคเมื่ออุณหภูมิอบให้เป็นօอสเทนในต์ต่างๆ และอบคืนตัวกัดผิว
ของชิ้นงานด้วยสารละลายนital 2%, 200x (n) 800°C (x) 815°C (c) 845°C (s) 860°C



รูปที่ 4.2(ต่อ) โครงสร้างจุลภาคเมื่ออุณหภูมิอบให้เป็นօสเทนในต่างๆ และอบคืนตัวกัดผิวของชิ้นงานด้วยสารละลายนital 2%, 200x (ก) 800°C (ข) 815°C (ค) 845°C (ง)
860°C



(ก)

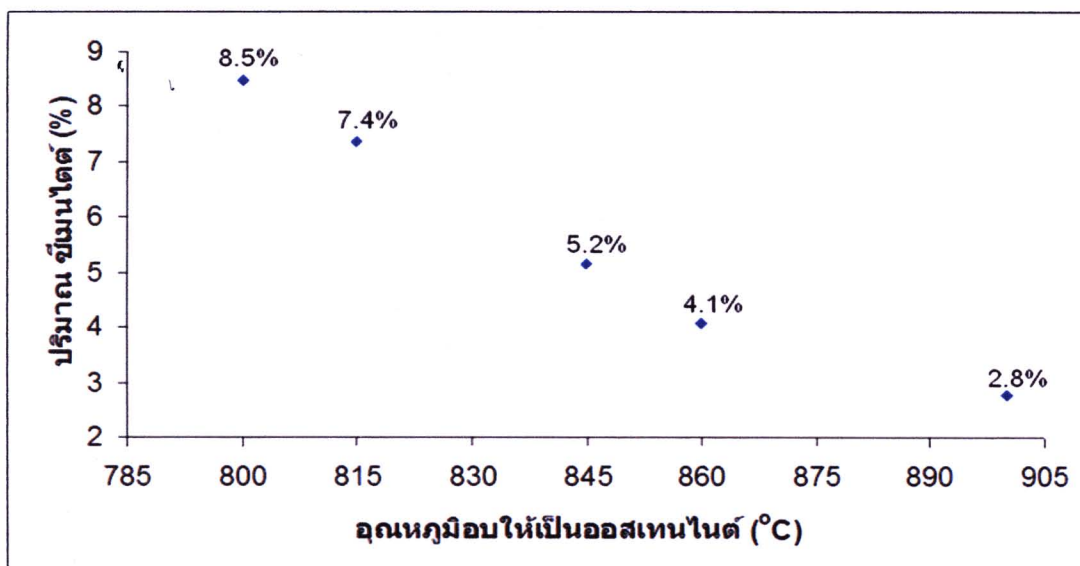


(ข)

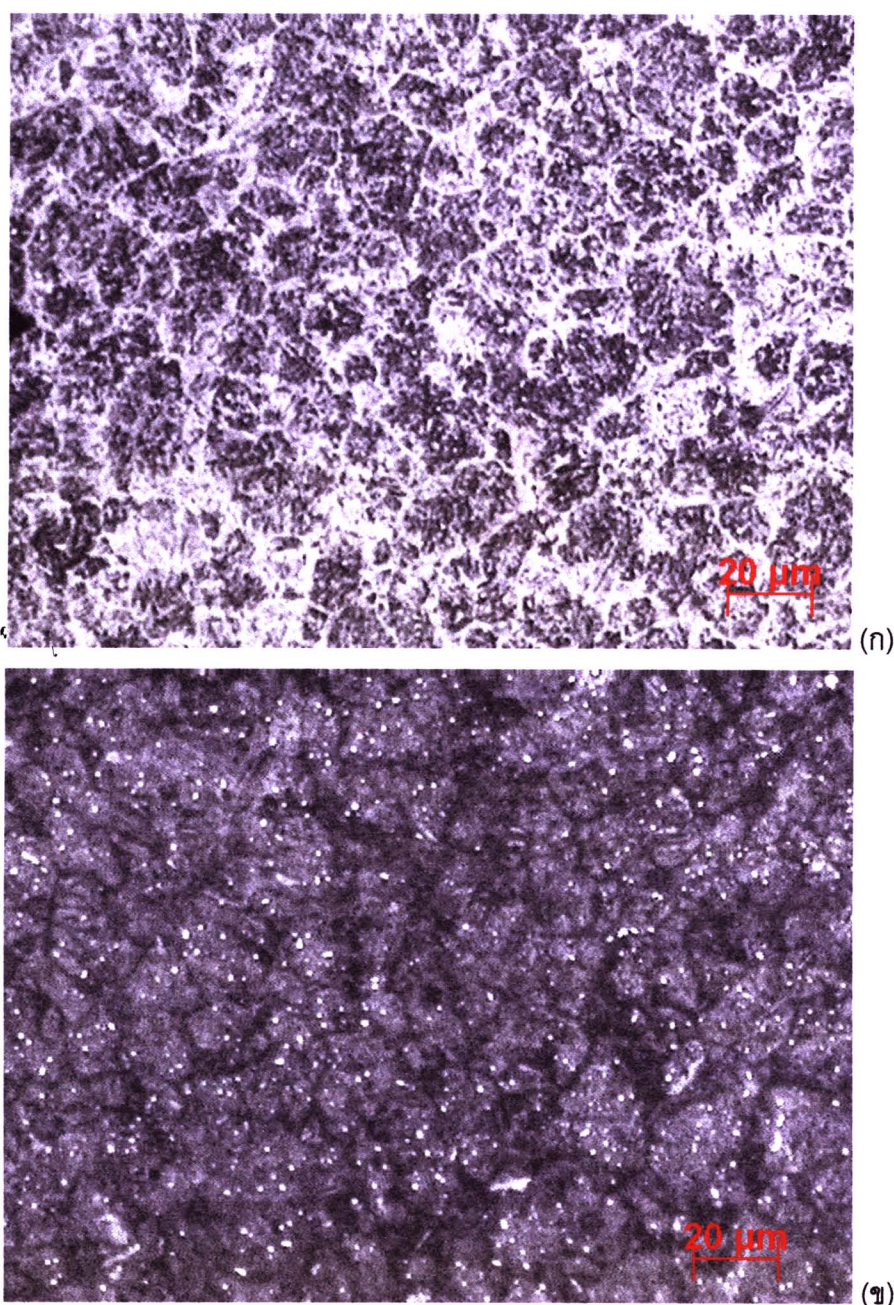
รูปที่ 4.3 อุณหภูมิอบให้เป็นออกซเทนในต 900°C และอบคืนตัว (ก) กัดผิวของชิ้นงานด้วยสารละลายนital 2%, 200x (ข) รอยแตกที่ผิวชิ้นงาน

4.2 การหาปริมาณซีเมนไต์ที่ไม่ละลาย

เมื่อใช้สารละลาย Klemm กัดผิวชั้นงานพบว่าลักษณะ ghost line ไม่ส่งผลกระทบต่อการทำให้เห็นซีเมนไต์ขัดเจนดังแสดงในรูปที่ 4.5 ให้โปรแกรม Image J หาสัดส่วนของปริมาณซีเมนไต์ที่ไม่ละลายจากรูปถ่ายโครงสร้างจุลภาค เมื่ออบเหล็กกล้าให้เป็นօอสเทนไนต์ที่อุณหภูมิสูง ซีเมนไต์ส่วนหนึ่งละลายในօอสเทนไนต์และมีซีเมนไต์จำนวนหนึ่งไม่ละลาย ซีเมนไต์ที่ไม่ละลายมีปริมาณลดลงจาก 8.5% เป็น 2.8% ตามอุณหภูมิอบให้เป็นօอสเทนไนต์เพิ่มขึ้นจาก 800-900°C ดังแสดงในรูปที่ 4.4 สำหรับโครงสร้างจุลภาคเริ่มต้นเป็นซีเมนไต์กลมบันเนื้อพื้น เพอร์ไวร์ทนาปริมาณซีเมนไต์ได้ 14 %



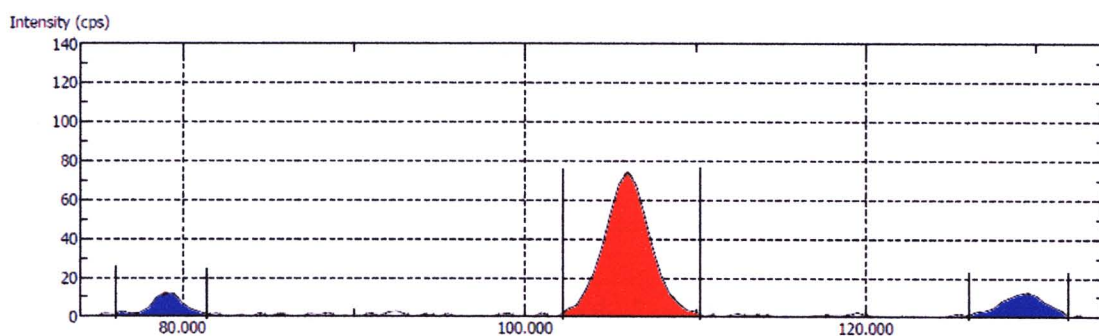
รูปที่ 4.4 ปริมาณซีเมนไต์กลมที่ไม่ละลายเมื่ออบให้เป็นօอสเทนไนต์ที่อุณหภูมิต่างๆ



รูปที่ 4.5 ชิ้นงานที่ถูกชุบแข็งและอบคินตัว (200x) (ก) กัดด้วยสารละลายนital 2%
(ข) กัดด้วยสารละลายน Klemm

4.3 การหาปริมาณօอสเทนในต์เหลือค้าง

4.3.1 การหาปริมาณօอสเทนในต์ชิ้นงานที่ใช้อุณหภูมิอบให้เป็นօอสเทนในต์ 800°C และอบคืนตัว



รูปที่ 4.6 ผลจากเครื่องรังสีเอ็กซ์หลังลบ background แล้ว
ของชิ้นงานใช้อุณหภูมิอบให้เป็นօอสเทนในต์ 800°C และอบคืนตัว

ตารางที่ 4.1 ค่าในการคำนวณของชิ้นงานใช้อุณหภูมิอบให้เป็นօอสเทนในต์ 800°C และอบคืนตัว

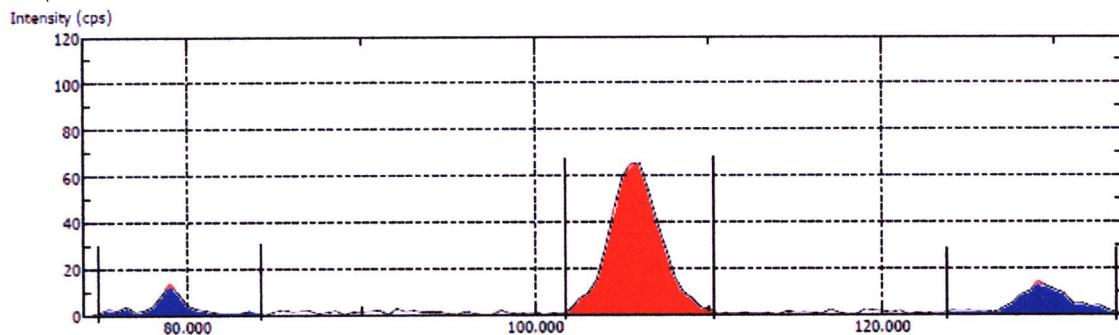
	ระยะ (hkl)	integrated intensity	R
օอสเทนในต์	200	415	34.78
มาร์เกนไซด์	200	4296	20.73
օอสเทนในต์	220	647	47.88

ตารางที่ 4.2 ผลการคำนวณของชิ้นงานใช้อุณหภูมิอบให้เป็นօอสเทนในต์ 800°C และอบคืนตัว

օอสเทนในต์ที่ระยะ (hkl)	มาร์เกนไซด์ที่ระยะ (hkl)	ปริมาณօอสเทนในต์ (%)
200	200	4.983
220	200	5.603

ปริมาณซึ่งเปลี่ยนไปต่ำที่ไม่ละลาย 8.5 % ผลการคำนวณสัดส่วนระหว่าง integrated intensity austenite (220)/ integrated intensity austenite (200) มีค่า 1.56 และค่าเฉลี่ยปริมาณօอสเทนในต์มีค่า 5.3%

4.3.2 การหาปริมาณօอสเทนในตัวชี้งานที่ใช้อุณหภูมิอบให้เป็นօอสเทนในต 815°C และ อบคินตัว



รูปที่ 4.7 ผลจากเครื่องรังสีเอกซ์หลังลบ background แล้ว

ของชี้งานใช้อุณหภูมิอบให้เป็นօอสเทนในต 815°C และอบคินตัว

ตารางที่ 4.3 ค่าในการคำนวณของชี้งานใช้อุณหภูมิอบให้เป็นօอสเทนในต 815°C และ อบคินตัว

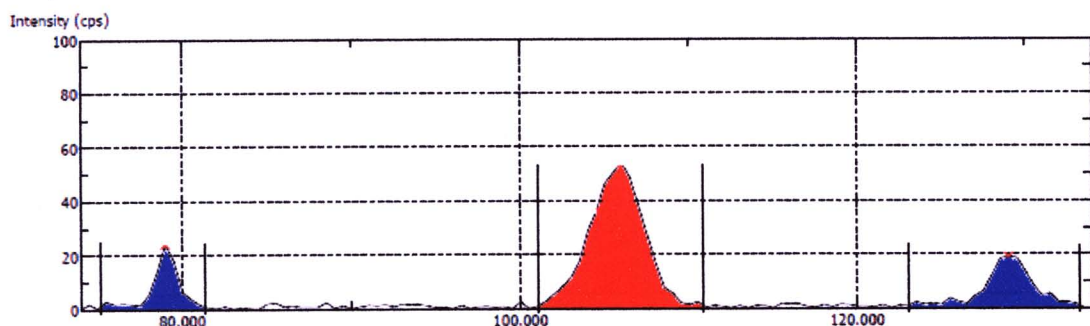
	ระนาบ (hkl)	integrated intensity	R
օอสเทนไนต์	200	346	34.78
มาრ์เกนไชร์	200	3086	20.73
օอสเทนไนต์	220	593	47.88

ตารางที่ 4.4 ผลการคำนวณของชี้งานใช้อุณหภูมิอบให้เป็นօอสเทนในต 815°C และอบ คินตัว

օอสเทนไนต์ที่ระนาบ (hkl)	มาร์เกนไชร์ที่ระนาบ (hkl)	ปริมาณօอสเทนไนต์ (%)
200	200	5.63
220	200	6.91

ปริมาณซีเมนไต์ที่ไม่ละลาย 7.4 % ผลการคำนวณสัดส่วนระหว่าง integrated intensity austenite (220)/ integrated intensity austenite (200) มีค่า 1.7 และค่าเฉลี่ยปริมาณօอสเทน ไนต์มีค่า 6.3%

4.3.3 การหาปริมาณօอสเทนในรีชั่นงานที่ใช้อุณหภูมิอบให้เป็นօอสเทนในต์ 845°C และอบคืนตัว



รูปที่ 4.8 ผลจากเครื่องรังสีเอ็กซ์หลังลบ background แล้ว

ของรีชั่นงานที่ใช้อุณหภูมิอบให้เป็นօอสเทนในต์ 845°C และอบคืนตัว

ตารางที่ 4.5 ค่าในการคำนวณของรีชั่นงานที่ใช้อุณหภูมิอบให้เป็นօอสเทนในต์ 845°C และอบคืนตัว

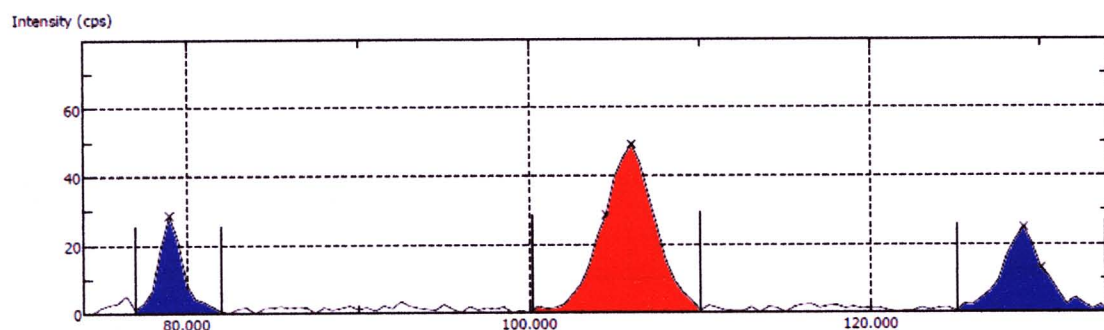
	ระนาบ (hkl)	integrated intensity	R
օอสเทนในต์	200	588	34.78
มาრ์เกนไซด์	200	3348	20.73
օอสเทนในต์	220	989	47.88

ตารางที่ 4.6 ผลการคำนวณของรีชั่นงานที่ใช้อุณหภูมิอบให้เป็นօอสเทนในต์ 845°C และอบคืนตัว

օอสเทนในต์ที่ระนาบ (hkl)	มาร์เกนไซด์ที่ระนาบ (hkl)	ปริมาณօอสเทนในต์ (%)
200	200	8.98
220	200	10.75

ปริมาณซีเมนไടต์ที่ไม่ละลาย 5.2 % ผลการคำนวณสัดส่วนระหว่าง integrated intensity austenite (220)/ integrated intensity austenite (200) มีค่า 1.7 และค่าเฉลี่ยปริมาณօอสเทนในต์มีค่า 9.9%

4.3.4 การหาปริมาณօอสเทนไนต์ชิ้นงานที่ใช้อุณหภูมิอบให้เป็นօอสเทนไนต์ 860°C และอบคืนตัว



รูปที่ 4.9 ผลจากเครื่องรังสีเอกซ์หลังลบ background และ
ของชิ้นงานใช้อุณหภูมิอบให้เป็นօอสเทนไนต์ 860°C และอบคืนตัว

ตารางที่ 4.7 ค่าในการคำนวณของชิ้นงานใช้อุณหภูมิอบให้เป็นօอสเทนไนต์ 860°C และอบคืนตัว

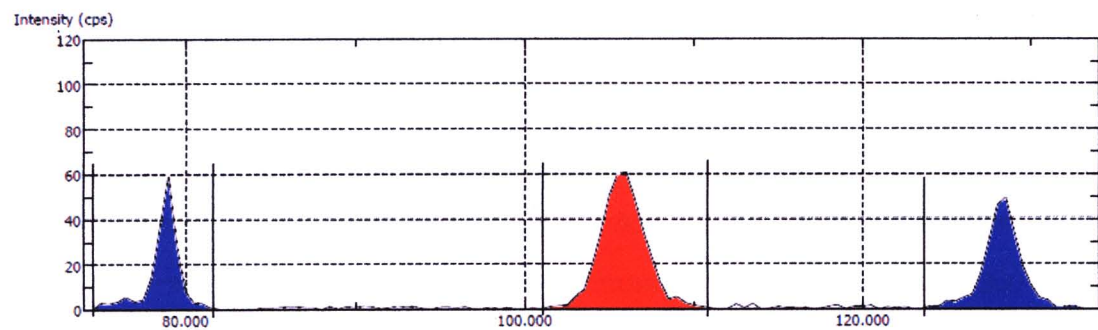
	ระนาบ (hkl)	integrated intensity	R
օอสเทนไนต์	200	1352	34.78
มาร์เกนไซด์	200	5311	20.73
օอสเทนไนต์	220	2101	47.88

ตารางที่ 4.8 ผลการคำนวณของชิ้นงานใช้อุณหภูมิอบให้เป็นօอสเทนไนต์ 860°C และอบคืนตัว

օอสเทนไนต์ที่ระนาบ (hkl)	มาร์เกนไซด์ที่ระนาบ (hkl)	ปริมาณօอสเทนไนต์ (%)
200	200	12.43
220	200	14.12

ปริมาณซีเมนิตต์ที่ไม่ละลาย 4.1 % ผลการคำนวณสัดส่วนระหว่าง integrated intensity austenite (220)/ integrated intensity austenite (200) มีค่า 1.6 และค่าเฉลี่ยปริมาณօอสเทนไนต์มีค่า 13.3%

4.3.5 การหาปริมาณօอสเทนในตัวชี้งานที่ใช้อุณหภูมิอบให้เป็นօอสเทนในต 900°C และ อบคืนตัว



รูปที่ 4.10 ผลจากเครื่องรังสีเอกซ์หลังลบ background แล้ว

ของตัวชี้งานที่ใช้อุณหภูมิอบให้เป็นօอสเทนในต 900°C และอบคืนตัว

ตารางที่ 4.9 ค่าในการคำนวณของตัวชี้งานที่ใช้อุณหภูมิอบให้เป็นօอสเทนในต 900°C และ อบคืนตัว

	ระนาบ (hkl)	integrated intensity	R
օอสเทนในต	200	1597	34.78
มาร์เกนไซด์	200	3728	20.73
օอสเทนในต	220	2291	47.88

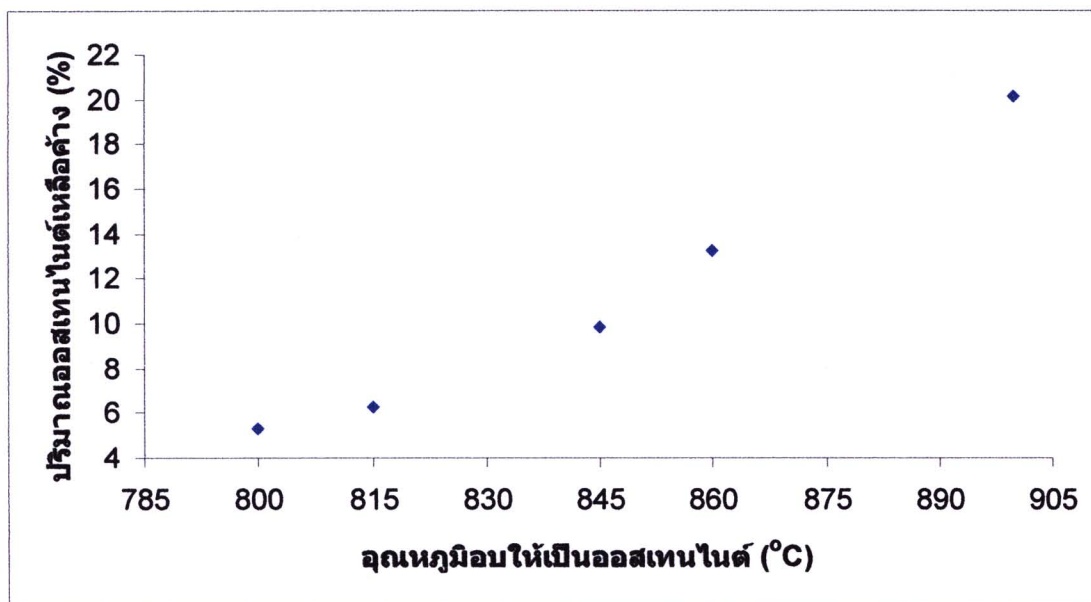
ตารางที่ 4.10 ผลการคำนวณของตัวชี้งานที่ใช้อุณหภูมิอบให้เป็นօอสเทนในต 900°C และ อบคืนตัว

օอสเทนในตที่ระนาบ (hkl)	มาร์เกนไซด์ที่ระนาบ (hkl)	ปริมาณօอสเทนในต (%)
200	200	19.78
220	200	20.43

ปริมาณซีเมนไต์ที่ไม่ละลาย 2.8 % ผลการคำนวณแสดงสัดส่วนระหว่าง integrated intensity austenite (220)/ integrated intensity austenite (200) มีค่า 1.4 และค่าเฉลี่ยปริมาณօอสเทน ในตมีค่า 20.1%

ผลการคำนวณสัดส่วนระหว่าง integrated intensity austenite (220)/ integrated intensity austenite (200) ในทุกชิ้นงานมีค่าไม่เกินช่วง 1.1-1.7 แสดงว่าสามารถใช้การคำนวณหาปริมาณօอสเทนในต์เหลือค้างด้วยวิธีนี้

เมื่อพิจารณาปริมาณซีเมนไต์ที่ไม่ละลาย ปริมาณօอสเทนในต์และอุณหภูมิการอบให้เป็นօอสเทนในต์พบว่าความสัมพันธ์กับ ซีเมนไต์ที่ไม่ละลายมีปริมาณลดลงจาก 8.5% เป็น 2.8% เมื่ออุณหภูมิอบให้เป็นօอสเทนในต์สูงขึ้นจาก 800°C เป็น 900°C ส่วนปริมาณօอสเทนในต์เหลือค้างมีค่าเพิ่มขึ้นจาก 5.3% เป็น 20.1% เมื่ออบเหล็กให้เป็นօอสเทนในต์จาก 800°C เป็น 900°C ดังแสดงในรูปที่ 4.11 เนื่องจากมีปริมาณธาตุคาร์บอนจากการละลายตัวของซีเมนไต์ในօอสเทนในต์มากขึ้น ซึ่งเป็นการเพิ่มเสถียรภาพให้กับօอสเทนในต์และลดค่าอุณหภูมิ Ms ให้ต่ำลง จึงทำให้ภายนหลังการเย็นตัวเร็วและอบคืนตัวมีปริมาณօอสเทนในต์เหลือค้างมากขึ้น

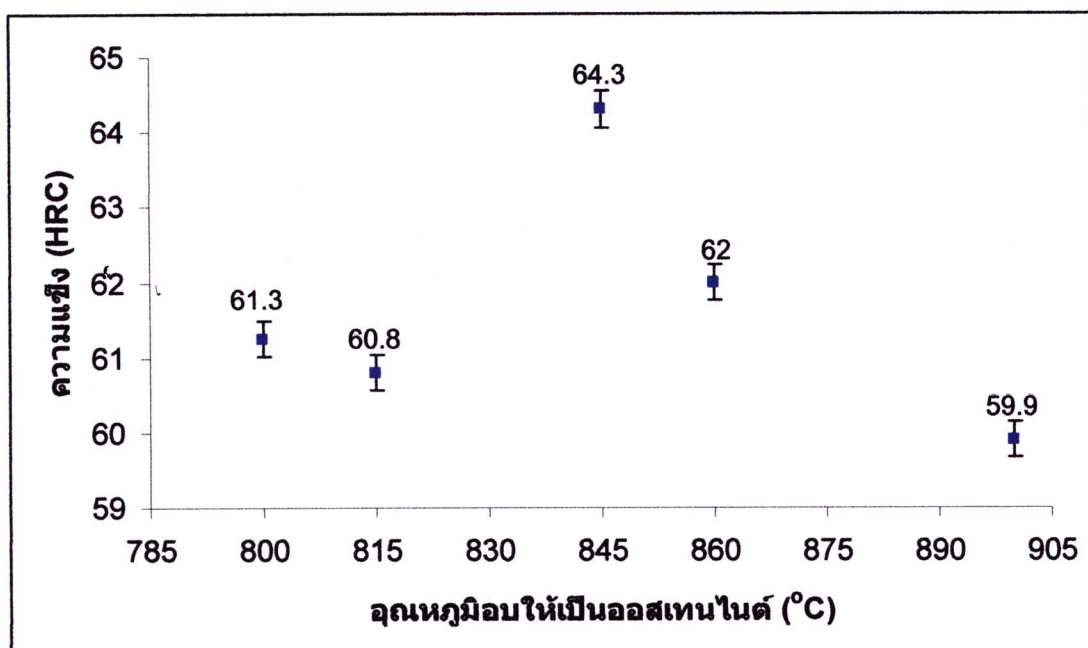


รูปที่ 4.11 ผลการคำนวณหาปริมาณօอสเทนในต์เหลือค้าง

เมื่อบให้เป็นօอสเทนในต์ที่อุณหภูมิต่างๆ

4.4 ความแข็งภายหลังผ่านกรรมวิธีทางความร้อน

ความแข็งของชิ้นงานที่มีอุณหภูมิอบให้เป็นօอสเทนไนต์ที่ 800°C และ 815°C มีค่า 61.3 HRC และ 60.8 HRC ซึ่งแตกต่างกันไม่มากนัก เมื่อเพิ่มอุณหภูมิที่ 845°C ความแข็งของชิ้นงานมีค่าสูงสุดที่ค่า 64.3 HRC และเมื่อเพิ่มอุณหภูมิให้สูงขึ้นพบว่าความแข็งกลับลดลงมีความแข็งที่ 62 HRC และ 59.9 HRC ที่อุณหภูมิที่ 860°C และ 900°C ตามลำดับดังแสดงในรูปที่ 4.12



รูปที่ 4.12 ความแข็งเมื่อบาñoเป็นօอสเทนไนต์ที่อุณหภูมิต่างๆ

โครงสร้างจุลภาคภายหลังผ่านกรรมวิธีทางความร้อนมีผลต่อความแข็งของ เนื่องจากօอสเทนไนต์มีความแข็งต่ำกว่ามาร์เกนไซด์อยู่มากดังนั้นหากมีօอสเทนไนต์เหลือค้างทำให้ความแข็งโดยรวมของมาร์เกนไซด์ลดลง พบร่วมกันของมาร์เกนไซด์และօอสเทนไนต์ที่สูงมีปริมาณօอสเทนไนต์เหลือค้างมากขึ้นทำให้ความแข็งของชิ้นงานเมื่อใช้อุณหภูมิอบให้เป็นօอสเทนไนต์ในช่วง $845-900^{\circ}\text{C}$ ลดลง

การเพิ่มความแข็งที่ช่วงอุณหภูมิอบให้เป็นօอสเทนไนต์ $800-845^{\circ}\text{C}$ ความแข็งสูงขึ้นเรื่อยๆ จนมีค่าสูงสุดที่อุณหภูมิอบให้เป็นօอสเทนไนต์ที่ 845°C โดยอุณหภูมิอบให้เป็นօอสเทนไนต์สูงขึ้นทำให้carbонจากการละลายของซีเมนタイト์ในօอสเทนไนต์มากและภายหลังผ่านการเย็บตัวเร็วมาร์เกนไซด์ที่ได้มีการละลายขึ้นตัวยิ่งやすขึ้นของcarbонมากขึ้น หากพิจารณาผลของการละลายขึ้นตัวยิ่งやすของcarbонในมาร์เกนไซด์ต่อความแข็งดังแสดงในตารางที่ 4.11 พบร่วมที่

ปริมาณมาร์เกนไซด์ 99% และความเข้มข้นของคาร์บอนที่ 0.6% คือ ความแข็งของมาร์เกนไซด์ที่มีการละลายอิมตัวยิ่งยอดของคาร์บอนที่ 0.6% มีค่า 64.3 HRC ซึ่งชิ้นงานที่ใช้อุณหภูมิอบให้เป็นออกอสเทนไนต์ที่ 845°C ได้ความแข็งที่ 64.3 HRC และแสดงว่าชิ้นงานภายหลังอบให้เป็นออกอสเทนไนต์ และเย็นตัวเร็วได้การละลายอิมตัวยิ่งยอดของคาร์บอนในมาร์เกนไซด์ที่ 0.6% เปรียบเทียบกับความแข็งของมาร์เกนไซด์ที่มีการละลายอิมตัวยิ่งยอดของคาร์บอนที่ 0.52% มีค่า 61.7 HRC ซึ่งชิ้นงานที่ใช้อุณหภูมิอบให้เป็นออกอสเทนไนต์ที่ 800°C ได้ความแข็งใกล้เคียงกันที่ 61.3 HRC และว่าเมื่อใช้อุณหภูมิอบให้เป็นออกอสเทนไนต์ที่ 800°C ได้การละลายอิมตัวยิ่งยอดของคาร์บอนในมาร์เกนไซด์ที่ 0.52% ซึ่งการละลายอิมตัวยิ่งยอดของคาร์บอนในมาร์เกนไซด์ที่มากทำให้ความแข็งเพิ่มขึ้น

ดังนั้นสรุปได้ว่าที่ช่วงอุณหภูมิอบให้เป็นออกอสเทนไนต์ 800-845°C การละลายอิมตัวยิ่งยอดของคาร์บอนในมาร์เกนไซด์เพิ่มทำให้ความแข็งเพิ่มขึ้น และที่ช่วงอุณหภูมิอบให้เป็นออกอสเทนไนต์ 845-900°C ปริมาณออกอสเทนไนต์เพิ่มขึ้นทำให้ความแข็งของชิ้นงานลดลง

ตารางที่ 4.11 ความเข้มข้นของคาร์บอนและปริมาณมาร์เกนไซด์ต่อความแข็ง

โดย M คือ มาร์เกนไซด์[5]

Carbon, %	Hardness, HRC				
	99% M	95% M	90% M	80% M	50% N
0.10	38.5	32.9	30.7	27.8	26.2
0.12	39.5	34.5	32.3	29.3	27.3
0.14	40.6	36.1	33.9	30.8	28.4
0.16	41.8	37.6	35.3	32.3	29.5
0.18	42.9	39.1	36.8	33.7	30.7
0.20	44.2	40.5	38.2	35.0	31.8
0.22	45.4	41.9	39.6	36.3	33.0
0.24	46.6	43.2	40.9	37.6	34.2
0.26	47.9	44.5	42.2	38.8	35.3
0.28	49.1	45.8	43.4	40.0	36.4
0.30	50.3	47.0	44.6	41.2	37.5
0.32	51.5	48.2	45.8	42.3	38.5
0.34	52.7	49.3	46.9	43.4	39.5
0.36	53.9	50.4	47.9	44.4	40.5
0.38	55.0	51.4	49.0	45.4	41.5
0.40	56.1	52.4	50.0	46.4	42.4
0.42	57.1	53.4	50.9	47.3	43.4
0.44	58.1	54.3	51.8	48.2	44.3
0.46	59.1	55.2	52.7	49.0	45.1
0.48	60.0	56.0	53.5	49.8	46.0
0.50	60.9	56.8	54.3	50.6	46.8
0.52	61.7	57.5	55.0	51.3	47.7
0.54	62.5	58.2	55.7	52.0	48.5
0.56	63.2	58.9	56.3	52.6	49.3
0.58	63.8	59.5	57.0	53.2	50.0
0.60	64.3	60.0	57.5	53.8	50.7

M, martensite